

بررسی ارزش تشخیصی رنگ آمیزی AgNOR در ضایعات نئوپلازیک غدد بزاقی

AgNOR Staining in Neoplastic lesions of Salivary - gland

A. Omidi, M.D., N. Mokhtari, M.D., M. Kalantari, M.D. and N. Eivazi, M.D.

Mashhad University of Medical Sciences

SUMMARY

Background: The aim of our study was to determine the expression of Argyrophilic nucleolar organizer region protein (AgNOR) and mean of AgNOR dots as a marker in differentiation between benign and malignant lesion of salivary glands.

Methods: AgNORs were studied by light microscope in 54 cases of Normal (N = 23), Benign adenoma (n = 15), malignant salivary gland tumor (n = 16).

The investigated parameter included the number of AgNOR dots in nucleoli of one-hundred cells.

Results: A stepwise increase in AgNOR from normal salivary gland tissue to benign adenoma and malignant tumor was found. Mean AgNOR number per cell was 1.6, 2.04, 7.14, respectively.

Conclusion: The AgNOR dots proved to be the valuable diagnostic criterion for the differentiation between benign and malignant salivary gland tumors.

Key words: salivary gland, Neoplasm, AgNOR.

آکروسانتريک يعنى کروموزومهاى ۱۳، ۱۴، ۱۵، ۲۱ و ۲۲ قرار دارند (۷). توسط روش هيريداسيون در جا نشان داده شده است که NORs حاوى ژنهايى هستند که RNA ريوزومى را کد مى کنند (۲۰ و ۳۰). همچنين NORs حاوى پروتئينهاى اسيدى نقره دوست هستند که دو پروتئين اصلى آن، پروتئين C23 يا نوکلئولين (Nucleolin) و پروتئين B23 يا نماترين (Nematrin) مى باشند. چون مولکولهاى RNA محل اصلى سنتز پروتئين هستند، پيشنهاد شده است که تعداد و ويژگيهاى NORs ممکن است منعکس کننده فعاليت هسته اى و سلولى باشند (۲، ۵، ۴) و اين نواحى بخاطر وجود پروتئينهاى نقره دوست به طور واضح توسط رنگ آميزى نيترات نقره با اسيد فرميک يا آمونياک رنگ مى گيرند (۲، ۶). پلوتون و همکارانش براى اولين بار روش AgNOR را براى بلوکهاى پارافيني فيکس شده در فرمالين ابداع کردند و سپس کروکر (Crocker) کاربرد اين روش را در تشخيص پاتولوژى تومورها گزارش نموده است (۲۰).

مواد و روشها

نمونه ها: ۵۴ نمونه بلوک پارافيني شامل ۲۳ نمونه غده بزاقى در حد طبيعى، ۱۵ نمونه آدنوم و ۱۶ نمونه کارسينوم غده بزاقى از آرشيو بخش پاتولوژى بيمارستان قائم (عج) جمع آورى شدند و همه نمونه ها مجدداً بازينى شدند.

از هر بلوک ۲ اسلايد ميکروسکوپى به ضخامت ۴ ميکرون تهيه که يکى به روش H & E و ديگرى به روش AgNOR، رنگ آميزى شد.

روش رنگ آميزى: ۱- برشهاى بافتى به ضخامت ۴ ميکرون از بلوکهاى پارافيني تهيه شد.

۲- لامها در گرلين دپارافينه شدند.

۳- با محلول اتانول و آب مقطر هيدراته شدند.

۴- محلول رنگ آميزى AgNOR تازه تهيه شده روى لامها ريخته شد.

۵- لامها به مدت ۴۰ دقيقه در دماى ۳۷ درجه سانتى گراد گذاشته شدند.

۶- با آب مقطر شستشو شدند.

۷- به ترتيب در الکل ۷۰٪، ۹۶٪ و مطلق هريک به مدت دو دقيقه آبگيرى شده و در هوا خشک شدند.

طرز تهيه محلول رنگ آميزى AgNOR:

۱- ۵۰ گرم نيترات نقره را در ۱۰۰ سى سى آب مقطر

عنوان مقاله:

بسررسى ارزش تشخيصى رنگ آميزى AgNOR
در ضايعات نئوپلازيک غدد بزاقى

نويسندگان:

دکتر عباسعلى انبىدى

دانشيار پاتولوژى

دکتر نعمت الله مختارى اميرمجدى

استاد گروه گوش و گلو و بينى دانشگاه علوم پزشکى شهيد

محمود رضا کلانترى

استاديار پاتولوژى

دکتر نسترن عيوضى

رزيدينت گوش و گلو و بينى

مقدمه

در بسيارى از موارد افتراق آزارهاى نئوپلازيک غدد بزاقى غير نئوپلازيک و همچنين افتراق نئوپلاسمهاى خوش خيم از تومورهاى بدخيم در غده بزاقى توسط پاتولوژيستها به سادگى و با اطمينان ممکن نيست. در چنين مواردى ضرورى است از روشهاى ديگرى نظير ارزيابى ميزان پروليفراسيون سلولى استفاده شود. در سالهاى اخير روشهاى متعددى جهت نشان دادن فعاليت هسته براى ارزيابى ميزان پروليفراسيون سلولى معرفى شده اند که شامل تعيين پلوئيدى و محتوى DNA هسته توسط فلوسيتومتري و مطالعه P53, Ki-67 و PCNA (آنتى ژن هسته اى سلول در حال پروليفراسيون) توسط روشهاى ايمنو هيستوشيمي (۱، ۲) و همچنين روشهاى مطالعه AgNOR مى باشند. از اين ميان رنگ آميزى AgNOR روش ساده، ارزان و داراى صحتى بيشتر از بسيارى روشهاى ديگر است (۲، ۳).

هدف ما در اين تحقيق ارزيابى توانايى روش ارزان و قابل دسترس رنگ آميزى AgNOR در افتراق نئوپلاسمهاى خوش خيم از بدخيم در غدد بزاقى و همچنين ارزيابى تفاوت پارامترهاى AgNOR در ضايعات نئوپلازيک و غده بزاقى غير نئوپلازيک بوده است.

هستک سلول در جريان ميتوز ناپديد مى شود و دوباره در انتهاى مرحله توفاز ظاهر مى گردد. NORs مناطقى از کروماتين مى باشند که هستک در انتهاى مرحله توفاز در اطراف آن تشکيل مى شود (۲۰). در انسان NORs روى بازوى کوتاه کروموزومهاى

نتایج

حل می‌کنیم.

تعداد متوسط و دامنه تغییرات میانگین تعداد نقاط AgNOR در گروه‌های تشخیصی مختلف بتدریج افزایش یافته که در جدول ۱ و نمودارهای ۱ و ۲ نشان داده شده است. همچنان که مشاهده می‌شود که هیچ‌گونه همبشانی در تعداد نقاط AgNOR در نمونه‌های نرمال، خوش‌خیم و بدخیم وجود ندارد.

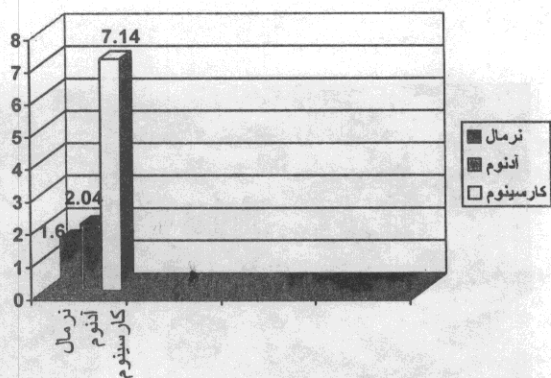
۲- دو گرم پودر ژلاتین را در ۱۰۰ میلی‌لیتر آب مقطر با حرارت ملایم حل نموده، سپس ۱۰۰ میلی‌لیتر اسید فرمیک غلیظ به آن اضافه می‌کنیم.

۳- ۱۰۰ میلی‌لیتر از محلول شماره (۱) را با ۵۰ ml از محلول شماره (۲) مخلوط کرده بلافاصله بر روی اسلایدها می‌ریزیم. روش ارزیابی: پس از رنگ‌آمیزی، نواحی NOR به صورت نقاط سیاه مشخص داخل هسته‌ای نمایان می‌شوند و هسته‌ها رنگ قهوه‌ای روشن را به خود می‌گیرند. اسلایدها توسط میکروسکوپ نوری با درشت‌نمایی ۱۰۰۰X با روغن ایمرسیون مورد مطالعه قرار گرفتند. در هر نمونه یکصد سلول اپیتلیال به‌طور مجاورتی انتخاب شده و به صورت double blind (بدون اطلاع از نتیجه H & E و توسط فرد غیر باتولوژیست) شمارش شد.

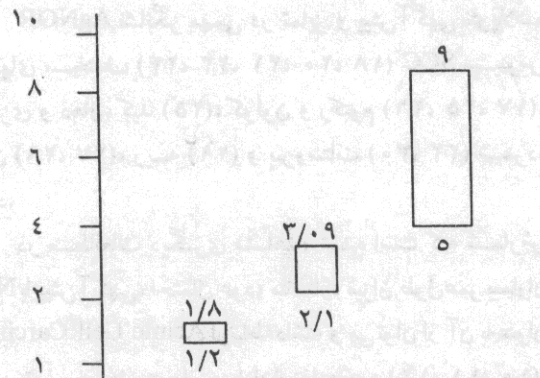
برای مقایسه و ارزشیابی تعداد متوسط نقاط AgNOR در غده بزاقی نرمال، آدنوم و کارسینومهای غده بزاقی از آزمون t استفاده شد که با $P < 0.05$ اختلاف معنی‌داری وجود داشت. نقاط AgNOR در غده بزاقی نرمال، کوچک و با حاشیه منظم و هم‌شکل بودند (شکل ۱) و در آدنوم کمی بزرگتر (شکل ۲) و در موارد بدخیم، بزرگ و نامنظم و پلئومورف بودند (شکل ۳).

جدول ۱- میانگین تعداد نقاط AgNOR و دامنه تغییرات آن در گروه‌های تشخیصی مورد مطالعه در غده بزاقی

گروه تشخیصی	تعداد موارد	تعداد سلول شمارش شده در هر مورد	دامنه تغییرات میانگین تعداد AgNOR	متوسط تعداد نقاط AgNOR
نرمال	۲۳	۱۰۰	۱/۲-۱/۸	۱/۶
آدنوم	۱۵	۱۰۰	۲/۱-۳/۰۹	۲/۰۴
کارسینوم	۱۶	۱۰۰	۵-۹	۷/۱۴



نمودار ۲- متوسط تعداد نقاط AgNOR در سه گروه تشخیصی مورد مطالعه در غده بزاقی



نمودار ۱- دامنه تغییرات میانگین تعداد نقاط AgNOR در سه گروه تشخیصی مورد مطالعه در غده بزاقی

بحث

با توجه به این که بعضاً افتراق بین نئوپلاسمهای خوش خیم از بدخیم در غده بزاقی یکی از مشکلات تشخیصی پاتولوژیستها را تشکیل می‌دهد، تاکنون پژوهشگران تلاشهای بسیاری را به کار بسته‌اند تا این مشکل را برطرف سازند (۱۵ و ۱۴ و ۱۳). در چنین مواردی استفاده از روشهای تشخیصی اضافی شامل فلوسیتومتری، ایمنوهیستوشیمی و رنگ آمیزی AgNOR ضروری به نظر می‌رسد که مورد اخیر روش ساده ارزان و در دسترس است.

تعداد نقاط AgNOR با سرعت رشد تومور و با سرعت تکثیر سلولی مرتبط است (۱۶، ۲۰). و تعداد متوسط AgNOR در ۱۰۰ سلول منعکس کننده DNA ploidy است (۲۰).

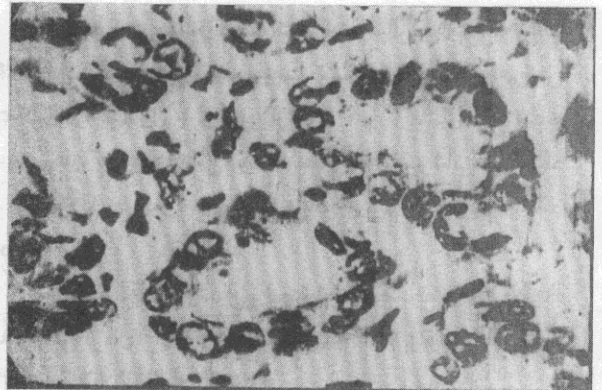
علل افزایش تعداد AgNOR قابل مشاهده در هسته در سلولهای نئوپلازیک عبارت است از:

۱- افزایش تقاضا برای بیوزن ریبوزومی که مشخصه سلولهای در حال تقسیم است. در این حالت نوکلئول باز شده و منجر به قابل مشاهده شدن AgNOR های منفردی که قبلاً متراکم بودند می‌شود (۲۰).

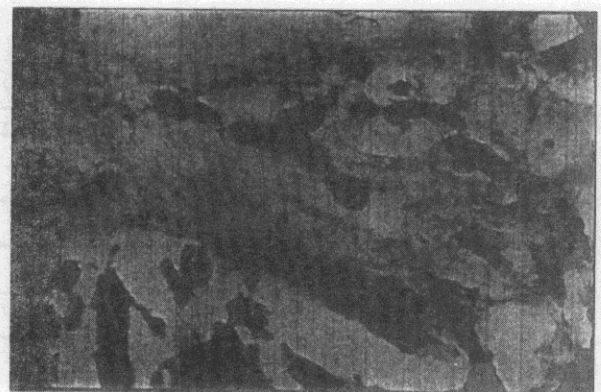
۲- افزایش تعداد کروموزومهای آکروساتریک حامل NOR که با افزایش تعداد کلی کروموزومها مرتبط است. حضور مقادیر بالای NOR اینترفاز در سلولهای سرطانی ممکن است نتیجه حالت هیپر دیپلوئیدی باشد، در واقع هیپر دیپلوئیدی شایعترین تغییر در تعداد کروموزومهای سلولهای بدخیم است (۲۰).

۳- مطالعات مختلف نشان دادند که حالت تقسیم مداوم ممکن است مسعود تعداد بیشتر AgNOR اینترفاز باشد. تعداد AgNOR به طور پیشرونده، از فاز G1 به S افزایش می‌یابد (۲۰). AgNOR نشانگر مهمی در تمایز و پیش آگهی نئوپلاسم ارگانهای مختلف (۲۴، ۲۳، ۲۱، ۲۰، ۱۸) SCC سینوس ماگزیلری و دهان، کبد (۲۵)، کولون و رکتوم (۲۶، ۲۵، ۱۷)، پستان (۲۸، ۲۷)، ریه (۲۹) و پروستات (۳۰، ۲۲) شمرده می‌شود.

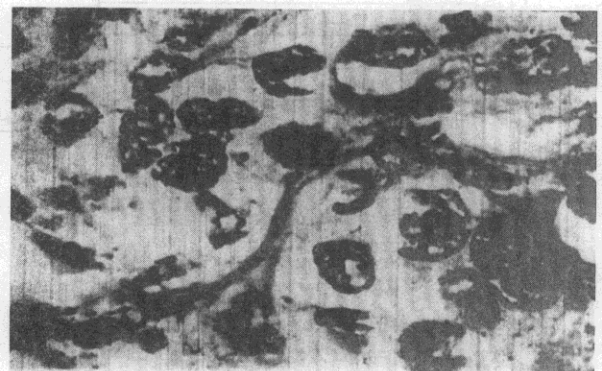
در مطالعات دیگری مشاهده شده است که شمارش NORs با پیش آگهی، احتمال عود، متاستاز، میزان طول عمر بیماران Acinic Cell Carcinoma ارتباط داشته و می‌توان از آن به عنوان روشی در تعیین خط‌مشی درمانی بیماران استفاده نمود (۱۲، ۱۱، ۱۰). در مطالعه ما تعداد نقاط AgNOR هستکی در آدنوم غده بزاقی ۲/۵-۲ برابر بافت طبیعی و در کارسینوم غده بزاقی ۳-۶ برابر بافت طبیعی بوده و از نظر مورفولوژی AgNORs



شکل ۱- نمای میکروسکوپی غده بزاقی نرمال



شکل ۲- نمای میکروسکوپی آدنوم پلئومورف غده بزاقی



شکل ۳- نمای میکروسکوپی بدخیمی غده بزاقی

رنگ آمیزی AgNOR تکنیکی ساده، ارزان، در دسترس و با
صحتی قابل قبول در افتراق بین نئوپلاسمهای خوش خیم و بدخیم
غدد بزاقی باشد.

در کارسینومهای غده بزاقی بزرگتر و نامنظم ترند.
مطالعات سایر پژوهشگران نیز بررسی ما را در رابطه با
نئوپلاسمهای غده بزاقی تأیید نموده اند. بنابراین به نظر می رسد

خلاصه

اهداف تحقیق: هدف از این مطالعه بررسی ارزش تشخیصی رنگ آمیزی
AgNOR (Argyrophilic nucleolar organizer region) در افتراق بین نئوپلاسمهای خوش خیم و بدخیم غدد بزاقی است.
روش کار: تعداد متوسط نقاط AgNOR در هسته ۱۰۰ سلول در ۲۳ نمونه غده بزاقی، ۱۵ نمونه آدنوم خوش خیم،
۱۶ نمونه تومورهای بدخیم غده بزاقی با میکروسکوپ نوری مورد بررسی قرار گرفت.
نتایج: تعداد متوسط نقاط AgNOR هستکی در غده بزاقی طبیعی، آدنوم خوش خیم و نئوپلاسمهای بدخیم به تدریج از
۱/۶ به ۲/۰۴ و ۷/۱۴ افزایش یافته است.
نتیجه گیری: بررسی مناطق رنگ پذیر هستکی AgNOR دارای ارزش تشخیصی بالایی در تمایز نئوپلاسمهای غدد
بزاقی از یکدیگر است.
کلمات کلیدی: غدد بزاقی، نئوپلاسم، AgNOR

REFERENCES

1. Munakata - S, et al. A multilabelling technique for simultaneous demonstration and quantitation of Ki-67 and AgNoR as in paraffin embedded tissue, *J-Histochem-cytochem*, 1994 Jun; 42(6): 789-3.
2. Martin - H, Importance of AgNoR analysis in Malignant tumors, *Zentralbl - Pathol*, 1994 Mar; 140(1): 15-22
3. Derenzini - M, et al AgNoR proteins as a parameter of the repidity of cel proliferation, *Zentralbl - Pathol*, 1994 Mar; 140(1): 7-10.
4. Rusell - D. LEEK et al, Variations in the occurrence of silver - staining Nucleolar Orgnizer Region in Non - Proliferating and proliferating lesion, *J-Pathol*, 1991. (43-51).
5. Ronco - A, et al, AgNoR and breast cancer, *Histol - Histopathol*, 19943 Apr. 9(2): 309-13.
6. David - T, et al, AgNoR area in interphase nuclei of human tumors correlate with the proliferative activity evaluated by Bromodeoxy uridine labelling and Ki-67 immunostaining, *J - Pathol.*, 1991, 165, (53, 59).
7. Engel - U, et al, AgNoR as in primary and recent gliomas, a retrospective study, *Zentralbl - Pathol.*, 1994 Mar. 140(1): 73-81.
8. Ishii - K, et al, Evaluation of malignant grade of sailvary gland tumors, *Pathol - Int - 1994 Apr:* 44(4): 287-96.
9. Vuhahula - EA, et al, Prognostic value of Agnor count in adenoid cystic carcinoma of salivary gland, *pathol - Int.*, 1994 May: 44(5): 368-73.
10. Timon - CL, et al Acinic cell carcinoma of salivary gland, *Arch Otolaryngol - Head - Neck - surg.*, 1994 Jul; 120(7); 727-33.

11. Timon, CT: Dardick, I (The important of dedifferentiation in recurrent acinic cell carcinoma): *J larynaqol Otol*; 115(8) 639-66 2001 aug.
12. Vuhahula EA, Nikai H, Oqawa I, Miyauchi M, Takata T, I to H, Itor. correlation between argyrophilic nucleolar organizer region (AgNoR) counts and histologic grades with respect to biologic behavior of salivary adenoid cystic carcinoma: *Joral Pathol Med*. 24: 437-42, 1995 NOV.
13. Rosai J Ackerman's surgical pathology 8th ed mosby U.S.A 1221-1246, 1996.
14. Virginia A, montane L, Sack M in "diagnostic surgical pathology", sternberge sterphens, third et Lippincott williams & wilkins. U.S.A. 545-547, 1999.
15. David C, Bostwich in "Anderson's Pathology; (Damjanov) 10th ed, Mosby U.S.A. 2203-2222, 1996.
16. Drenzini M, Trere D, Pession A, et al; nucleolar Size indicates the repidity of cell proliferation in cancer tissue *J.Path* 1991(2): 181-6, 2000.
17. Eminovic - Behrem S, Trobonjaca Z, Petroveki. M et al; Prognostic significant of DNA poidy pattern and nucleolar organizer region in colorectal carcinoma *croat Med* 41(2): 154-8, 2000.
18. Zaczek marcin, Szot wojciech, chlap zbgnictw; argirophilic nucleolar organizer regions in proliferative lesion of the thyroid coland *Anal ouant cytol histor* 18(1), 1-8, 1996.
19. Ruschoff J, Prasser C, Cortez T; Diagnostic value of AgNoR staining in follicular cell neoplsm of the thyroid *A.J. Sugical Pth*. 17(2): 1281-1288, 1993.
20. Derenzini M, sirri V, Trere D; Nucleolar organizer regions in tumor cells the cancer *Journal* volum 7, N 2, 1-9, 1994.
21. Kawasaki F, Onoda N, Ishikawat et al; Evaluation of (AgNoR) in differentiated thyroid carcinoma as an indicator for disease recurrence *oncol Re* 7(4), 853-7, 2000.
22. AgNoRas in atypoical adenomatose hyperplasia, Prostatic intraepithelial neoplasia and prostatic carcinoma mukherjee J, Misra V, Gupta et al. *Urol int* 58(2): 75-9, 1997.
23. Montrioni R, Braccischi A, Scarpelli M, eatl; value of quantitative nucleolar feutures in the preoprative - cytological diagnosis of follicular neoplasias of the thyroid. *J. Clin pathol*. 44; 509-14, 1991.
24. Musiatowicz B, DZ, Eciol J, Augusty nowicz A; Over ezplanation of the nucleolar organizer Region in the thyroid follicular thumours, *Rocznik Akademii Medczej W Bialymstoku* 1998, Vol 43, 186-193.
25. Jain R, Malhorta V. Kumar N et al; Nucleolar organizer regions in cirrhosis and hepatocellular carcinoma *Trop Gastroentrol*. 19(3): 100-1, 1998.
26. Kaneco M, Anhiro K, Fuji S et al; the proliferative activity in epithelial hyperplasia of the breast. 221: 46-51, 1995.
27. Ogawa Y, Chung YS, Nakta B et al; Evaluation of argyrophilic nucleolar organizer regions in breast cancer *ann Cancer Res Ther* 3: 109-112, 1993.
28. Ceccarelli C, Trere D, Santini D et al; Angoras in Breast tumor *Micron* 31(2); 143-9, 2000.
29. Mourad V.A, Vallieres E, Chuen J et al; cell kinetics Analysis of surgical Resected nonsmall lung cancer *Ann saudi med*. 1997; 17(2): 161-166.
30. Bollicelli A.R., Marandilap, Jallush et al; Quantitative and quaitative Angoras rate of prostatic cancer *pathologica* 87, 627-630, 1995.